

**Introduction**  
A gamma-ray spectrometric and aeromagnetic airborne geophysical survey of the Mierschling Lake West Area, Nunavut, was completed by Terrateq Ltd. The survey was flown from July 24th to September 7th, 2009 using a Piper PA-31 Navajo (C-2045). The nominal traverse and control line spacings were, respectively, 400 m and 2400 m, and the aircraft flew at a nominal terrain clearance of 125 m at an average speed of 275 km/h. Traverse lines were oriented N27W with orthogonal control lines. The flight path was recorded following postflight differential corrections to raw data recorded by a Global Positioning System. The survey was flown on a pre-determined flight surface to minimize differences in magnetic values at the intersections of control and traverse lines.

Un levé géophysique aéroponté de spectrométrie gamma et magnétique a été réalisé dans la partie ouest de la région du lac Mierschling au Nunavut par le 7 septembre 2009, à bord d'un avion Piper C-2045. L'espacement nominal des lignes de vol était de 400 m et celui des lignes de contrôle de 2400 m. L'altitude nominale de vol était de 125 m au-dessus du sol et la vitesse moyenne de vol était de 275 km/h. Les lignes de vol étaient orientées à N27W et les lignes de contrôle ont été établies perpendiculairement. La trajectoire de vol a été restituée par application après le vol de corrections différentielles aux données brutes enregistrées avec un récepteur GPS. Le vol a été effectué suivant une surface de vol prédéterminée afin de réduire le plus possible les différences de valeurs du champ magnétique aux intersections des lignes de contrôle et des lignes de levé.

**Gamma-ray Spectrometric Data / Données de spectrométrie gamma**  
The airborne gamma-ray measurements were made with a Radiation Solutions RS-500 gamma-ray spectrometer using fourteen 102x102x46 mm NaI (TI) crystals. The main detector array consisted of twelve crystals (total volume 50.4 litres). Two crystals (total volume 8.4 litres), shielded by the main array, were used to detect variations in background radiation caused by atmospheric radon. The system assembled 1024 channel spectra from the individual NaI (TI) detectors with no loss of Poisson statistics. Spectrum stabilization is accomplished by matching the recorded spectra with several natural gamma-ray peaks.

Potassium is measured directly from the 1460 keV gamma-ray photons emitted by <sup>40</sup>K, whereas uranium and thorium are measured indirectly from gamma-ray photons emitted by daughter products (<sup>214</sup>Pb for uranium and <sup>214</sup>Pb for thorium). Although these daughters are far down their respective decay chains, they are assumed to be in equilibrium with their parents; the gamma-ray spectrometric measurements of uranium and thorium are referred to as equivalent uranium and equivalent thorium, i.e. eU and eTh. The energy windows used to measure potassium, uranium and thorium are, respectively, 1375-1571 keV, 1950-1961 keV, and 2410-2410 keV.

Gamma-ray spectra were recorded at one-second intervals. Data processing followed standard procedures as described in IAEA, 1991 and IAEA, 2003. During processing, the spectra were energy calibrated, and counts were accumulated into the windows described above. Counts from the radon daughters were masked in the 1950-1961 keV window and radon at energies greater than 2000 keV was masked in the control window. The window counts were corrected for dead time, background activity from cosmic radiation, radioactivity of the aircraft and atmospheric radon decay products. The window data were then corrected for spectral scattering in the ground, air and detectors. Corrections for deviations from the planned terrain elevations for radon and temperature and pressure were made prior to conversion to ground concentrations of potassium, uranium and thorium, using factors determined from flights over the Brocktonville test strip. The factors for potassium, uranium, and thorium were, respectively, 91.75 cps/%, 13.53 cps/ppm, and 5.31 cps/ppm.

Corrected data were interpolated to a 100m grid interval. The results of an airborne gamma-ray spectrometry survey represent the average surface concentrations of the 3 natural radioelements, and are influenced by nature or overburden, presence of outcrops, vegetation cover, soil moisture and surface water. As a result the measured concentrations are usually lower than the actual bedrock concentrations.

Les mesures du rayonnement gamma ont été effectuées à l'aide d'un spectromètre gamma Radiation Solutions RS-500 utilisant quatorze cristaux de NaI (TI) de 102x102x46 mm. Le principal réseau de cristaux se composait de douze cristaux (volume total de 50,4 litres). Deux cristaux (volume total de 8,4 litres), protégés par le réseau principal, ont été utilisés pour détecter les variations du rayonnement naturel dues au radon atmosphérique. Ce système compile à partir des réponses individuelles des cristaux de NaI(Tl) un spectre de 1024 canaux en respectant une distribution de Poisson. La calibration des spectres est réalisée en ajustant les spectres enregistrés selon plusieurs pics gamma naturels.

Le potassium est mesuré directement d'après les photons gamma de 1460 keV émis par le <sup>40</sup>K, tandis que l'uranium et le thorium sont mesurés indirectement selon les photons gamma émis par des produits de fission (<sup>214</sup>Pb pour l'uranium et <sup>214</sup>Pb pour le thorium). Bien que ces radioéléments de fission se trouvent loin dans leur chaîne respective de désintégration, on presume qu'ils sont en équilibre avec leur radioéléments père, ainsi, les mesures spectrométriques du rayonnement gamma de l'uranium et du thorium sont désignées comme des équivalents d'uranium et des équivalents de thorium, soit eU et eTh. Les plages d'énergie utilisées pour mesurer le potassium, l'uranium et le thorium sont respectivement : de 1375 à 1571 keV, de 1950 à 1961 keV et de 2410 à 2410 keV.

Les spectres du rayonnement gamma ont été enregistrés à intervalle d'une seconde. Le traitement des données a suivi les procédures standards décrites dans IAEA, 1991 et IAEA, 2003. Pendant le traitement, les spectres ont été soumis à un étalonnage énergétique et les coupes ont été corrigées dans les plages décrites ci-dessus. Les coupes obtenues à l'aide des capteurs de radon ont été enregistrées dans la plage de 1950 à 1961 keV et le rayonnement à des énergies supérieures à 2000 keV a été enregistré dans la plage du rayonnement cosmique. Les coupes enregistrées dans les plages ont été corrigées pour tenir compte du temps mort, du rayonnement de fond et du rayonnement cosmique, de la radioactivité de l'appareil et des produits de désintégration du radon atmosphérique. Les données pour les plages ont été corrigées pour les écarts de la diffusion spectrale dans le sol, l'air et les capteurs. Les corrections pour les écarts à la hauteur de vol prévue et les variations de température et de pression ont été effectuées avant la conversion en concentrations équivalentes au sol de potassium, de l'uranium et du thorium, en utilisant des facteurs déterminés lors de vols effectués au-dessus de la bande d'évaluation de Brocktonville. Les facteurs déterminés pour le potassium, l'uranium et le thorium étaient respectivement de 91,75 cps/%, 13,53 cps/ppm, et 5,31 cps/ppm.

Les données compilées ont été interpolées suivant une grille à maille de 100 m. Les résultats d'un levé aéroponté de spectrométrie gamma représentent les concentrations moyennes des 3 radioéléments naturels à la surface. Ces mesures sont influencées par la nature du sous-sol, la présence d'affleurements, la couverture végétale et l'état de surface. Par conséquent, les concentrations mesurées sont habituellement plus faibles que les concentrations réelles dans le substratum rocheux.

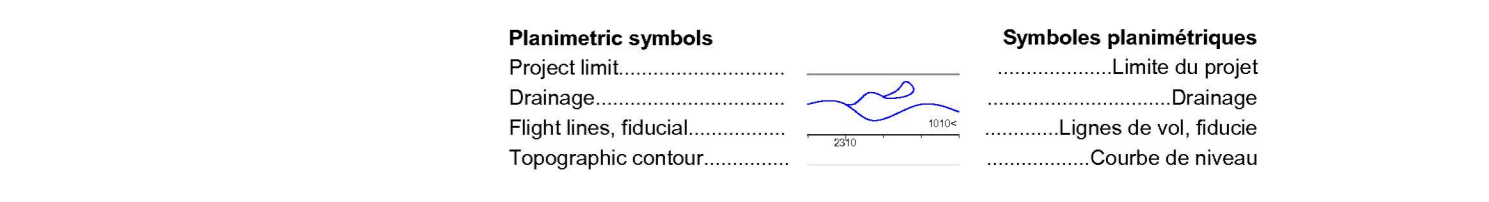
**Magnetic Data / Données sur le champ magnétique**  
The magnetic field was sampled 10 times per second using a split-beam cesium vapour magnetometer (sensitivity = 0.005 nT) rigidly mounted to the aircraft. Differences in magnetic values at the intersections of control and traverse lines were analysed to obtain a mutually levelled set of flight-line magnetic data. The levelled data were then interpolated to a 100 m grid. The International Geomagnetic Reference Field (IGRF) defined at the average GPS altitude of 303 m for the year 2009.6 was then removed. Removal of the IGRF, representing the magnetic field of the Earth's core, produces a residual component related essentially to magnetizations within the Earth's crust.

The first vertical derivative of the magnetic field is the rate of change of the magnetic field in the vertical direction. Computation of the first vertical derivative removes long wavelength features of the magnetic field and significantly improves the resolution of closely spaced and superposed anomalies. A property of first vertical derivative maps is the coincidence of the zero-value contour with vertical contacts of magnetic units at high magnetic latitudes (Hood, 1965).

Le champ magnétique a été échantillonné 10 fois par seconde à l'aide d'un magnétomètre à vapeur de césium à faisceau partagé (sensibilité = 0,005 nT) rigidement fixé à l'aéronef. Les différences de valeur du champ magnétique aux intersections des lignes de contrôle et des lignes de levé ont été analysées pour obtenir un ensemble de données sur le champ magnétique mutuellement nivelées sur les lignes de vol. Ces valeurs nivelées ont ensuite été interpolées suivant une grille à maille de 100 m. Le champ géomagnétique international de référence (International Geomagnetic Reference Field, IGRF) défini à l'altitude moyenne fournie par les données GPS de 303 m pour l'an 2009,6 a été soustrait. La soustraction de l'IGRF, qui représente le champ magnétique du noyau terrestre, résulte en une composante résiduelle essentiellement reliée à la magnétisation de l'écorce terrestre.

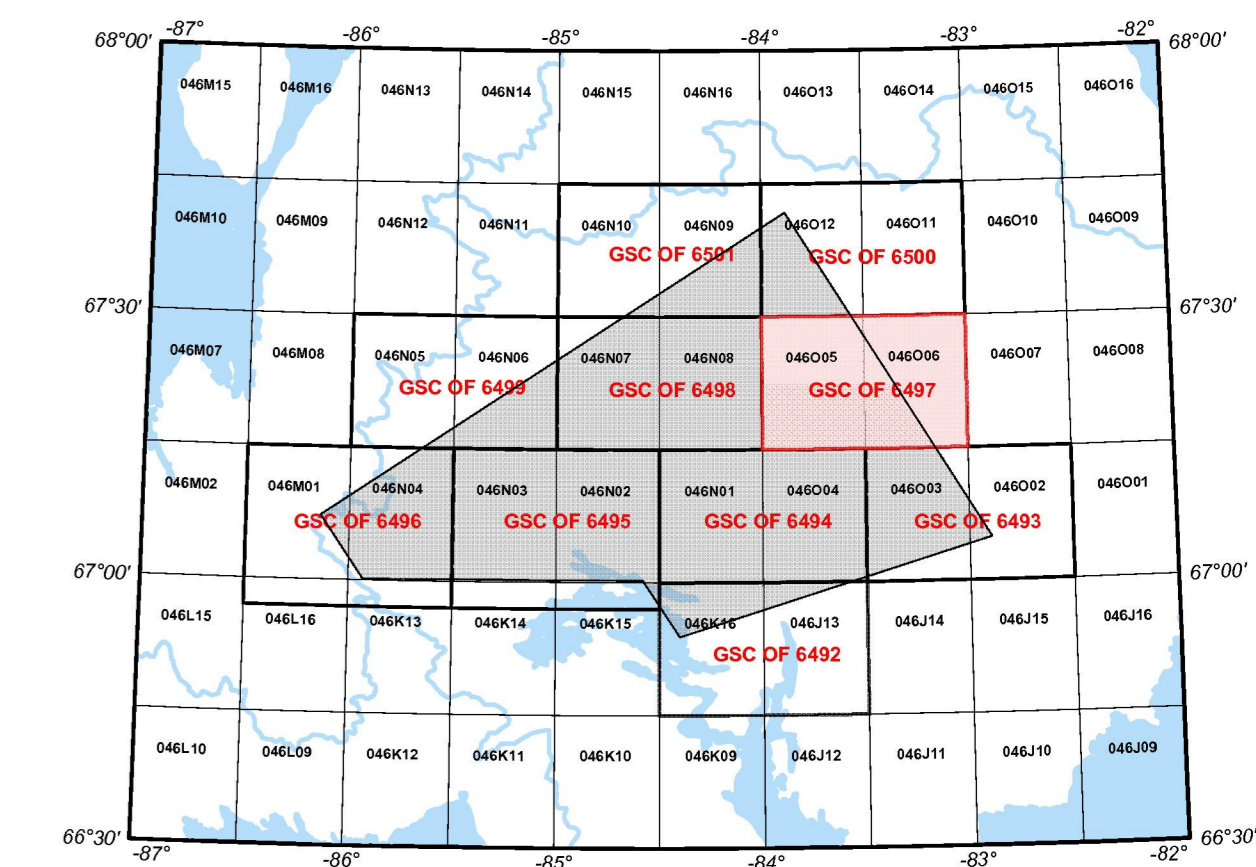
La dérivée première verticale du champ magnétique représente le taux de variation du champ magnétique suivant la verticale. Le calcul de la dérivée première verticale supprime les caractéristiques de grande longueur d'onde du champ magnétique et améliore considérablement la résolution des anomalies rapprochées les unes des autres ou superposées. Une des propriétés des cartes de la dérivée première verticale est la coïncidence de l'isocontour de valeur zéro des contacts verticaux d'unités magnétiques aux hautes latitudes magnétiques (Hood, 1965).

**References / Références**  
Hood, P.J. 1965. Gradient measurements in aeromagnetic surveying. *Geophysics*, 30,891-902.  
International Atomic Energy Agency, 1991. Airborne gamma ray spectrometry surveying. Technical Reports Series 323, IAEA, Vienna.  
International Atomic Energy Agency, 2003. Guide lines for radiometric mapping using gamma ray spectrometry data. Technical Reports Series 363, IAEA.



**MAP SHEET SUMMARY / SOMMAIRE DES FEUILLETS**

SHEET/FEUILLETT	MAP/CARTE
1	Natural Air Absorbed Dose Rate Taux d'absorption naturel des rayons gamma dans l'air
2	Potassium
3	Uranium
4	Thorium
5	Uranium / Thorium
6	Uranium / Potassium
7	Thorium / Potassium
8	Termary Radiation Map Diagramme ternaire des radioéléments
9	Residual Total Magnetic Field Composante résiduelle du champ magnétique total
10	First Vertical Derivative of the Magnetic Field Dérivée première verticale du champ magnétique



**NATIONAL TOPOGRAPHIC SYSTEM REFERENCE AND GEOPHYSICAL MAP INDEX SYSTEME DE RÉFÉRENCE CARTOGRAPHIQUE ET INDEX DES CARTES GÉOPHYSIQUES**

**GSC OPEN FILE 6497 / DOSSIER PUBLIC 6497 DE LA CGC  
GEOPHYSICAL SERIES / SÉRIE DES CARTES GÉOPHYSIQUES**

This airborne geophysical survey and the production of this map were funded by the Geo-Mapping for Energy and Minerals (GEM) Program of the Earth Sciences Sector, Natural Resources Canada.

**AIRBORNE GEOPHYSICAL SURVEY OF THE MIERTSCHING LAKE WEST AREA, NUNAVUT  
LEVÉ GÉOPHYSIQUE AÉROPORTÉ DE LA PARTIE OUEST DE LA RÉGION DU LAC MIERTSCHING, NUNAVUT**  
NTS 46-O/5 and 46-O/6 / SNRC 46-O/5 et 46-O/6

**THORIUM**

Authors: Fortin, R., Coyle, M., Hefford, S.W., Carson, J.M., and Faulkner, E.L.

Data acquisition, compilation and map production by Terrateq Ltd., Markham, Ontario.  
Coordination and project management by the Geological Survey of Canada, Ottawa, Ontario.

Auteurs : Fortin R., Coyle M., Hefford S.W., Carson J.M., et Faulkner E.L.

L'acquisition et la compilation des données, ainsi que la production des cartes, ont été effectuées par Terrateq Ltd., Markham, Ontario.  
La gestion et la supervision du projet ont été effectuées par la Commission géologique du Canada, Ottawa, Ontario.



Universal Transverse Mercator Projection  
North American Datum 1983  
© Her Majesty the Queen in Right of Canada 2011

Projection transversale universelle de Mercator  
Système de référence géodésique nord-américain, 1983  
© Sa Majesté la Reine du chef du Canada 2011

Digital Topographic Data provided by Geomatics Canada, Natural Resources Canada  
Données topographiques numériques de Géomatique Canada, Ressources naturelles Canada



MAP LOCATION - LOCALISATION DE LA CARTE

**OPEN FILE  
DOSSIER PUBLIC  
6497**  
GEOLOGICAL SURVEY OF CANADA  
COMMISSION GÉOLOGIQUE DU CANADA  
2011  
NTS 46-O/5  
FEUILLET 4 de 10

**Recommended Citation:**  
Fortin, R., Coyle, M., Hefford, S.W., Carson, J.M., and Faulkner, E.L., 2011. Geophysical series. Airborne Geophysical Survey of the Mierschling Lake West Area, Nunavut, NTS 46-O/5 and 46-O/6. Geological Survey of Canada, Open File 6497, scale 1:50 000.

**Notation bibliographique conseillée :**  
Fortin, R., Coyle, M., Hefford, S.W., Carson, J.M., et Faulkner, E.L., 2011. Série des cartes géophysiques. Levé géophysique aéroponté de la partie ouest de la région du lac Mierschling, Nunavut, SNRC 46-O/5 et 46-O/6. Commission géologique du Canada, Dossier public 6497, échelle 1:50 000.